

0131685

# 放射性物質毒理学文摘

編譯者

王克为 邓敬兰等

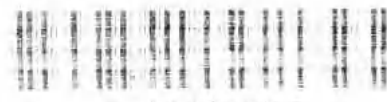
(内部資料)



陕西省科学技术情报研究所

1964年8月

0131085



— 401 E 2 P 5 R —

## 說 明

这本資料是以放射性落下灰，鈸<sup>90</sup>、鉩<sup>137</sup>、鉀<sup>44</sup>、鈇<sup>91</sup>、釤<sup>106</sup>、鎫<sup>95</sup>及其他几种放射性物质为主要对象，摘译了百余篇国外文献，分类编排，以便于了解这方面研究工作的概貌。由于文献种类不全及业务水平所限，定会有不少重要遗漏及错误之处，望批评指正，以便将来补充修改。关于放射性鋨的資料，大部分收集在我們以前編的“放射性鋨的代謝及加速排泄”的集子內，这次仅作些补充。

編 者

上  
登

告出日  
限借  
星期

198

## 目 录

一、放射性落下灰及鈾裂变产物.....	(1)
二、放射性 錫.....	(11)
三、放射性 鉻.....	(33)
四、放射性 鈮及放射性 鈇.....	(49)
五、放射性 鈽.....	(59)
六、鉀 <sup>210</sup> .....	(65)
七、鉀 <sup>239</sup> .....	(75)
八、其他.....	(83)

# 放射性落下灰及鈾裂变产物



## 比基尼附近氢彈實驗落下灰引起的放射病

坂口康藏等

“医疗”9卷增刊号 35, 1955, (日文)

美帝在比基尼島附近實驗氢彈产生的落下灰，使福龍丸漁民遭受沾染，发生放射病，本文是其中16名患者入院后的临床經過。在落下灰降落当日的傍晚，患者等感到眼疼，疲倦，流淚，輕度的头痛及疲劳感，食慾不好。翌日，一部分患者发生噁心及呕吐，2—3日後发生腹泻。暴露的皮肤，在落下灰降落2—3天后发痒、疼痛、发紅，并逐渐出現一些水泡，水泡潰破后出現壞死面，10天以后发生脫髮。落下灰的成分經分析結果，为如下的放射性物质： $\text{Sr}^{89}$ 、 $\text{Sr}^{90}$ 、 $\text{Y}^{90}$ 、 $\text{Y}^{91}$ 、 $\text{Zr}^{95}$ 、 $\text{Nb}^{95}$ 、 $\text{Ru}^{103}$ 、 $\text{Ru}^{106}$ 、 $\text{Te}^{129}$ 、 $\text{Te}^{132}$ 、 $\text{Tl}^{131}$ 、 $\text{Tl}^{132}$ 、 $\text{Ba}^{140}$ 、 $\text{La}^{140}$ 、 $\text{Cr}^{141}$ 、 $\text{Cr}^{144}$ 、 $\text{Pr}^{144}$ 、 $\text{Pr}^{143}$ 、 $\text{Nd}^{147}$ 、 $\text{Pm}^{147}$ 、 $\text{Ca}^{45}$ 、 $\text{U}^{237}$ 、 $\text{Pu}^{239}$ 。

全部患者都吃了从現場捕的魚，並喝了受落下灰沾染的水槽中的水。入院后有微熱，体重逐漸減輕，食慾不振，全身倦怠，头痛及腹瀉等。在头、前頸、前胸上部、腹部、腰帶（成帶狀），下腹及足背部有皮肤損傷，头部脱发，并交叉有色素沉着及脫色，有水泡及糜爛，經2个月治疗后，基本痊癒，7个月后近似正常皮肤。

血液中未測出放射性，骨髓及淋巴可測出放射性，在某些患者的糞便中也測出了放射性。血液及骨髓的变化有三种情况，一种是在一个半月期間里，白細胞，血小板及骨髓有核細胞数量著減少，出現貧血。第二种是仅出現中等度的白細胞減少。第三种情況是白細胞輕微減少。

全部患者的肝功不正常，并有8名患者出現黃疸。（王克為）

## 比基尼島氢彈實驗落下灰引起的放射病

的临床及血液学觀察

三好和夫等

“日本血液学会雜誌”18, 379, 1955, (日文)

著者等觀察了比基尼海域氢彈實驗落下灰受害者23名（年龄18—39岁）漁民的临床及血液学变化。漁船当时距爆炸中心的距离为80哩，在4—8毫克/厘米<sup>2</sup>落下灰降落的情况下持續4小时。当时落下灰的放射性强度推算約为1.4C/克，受害后經過14日到达燒津港。全身接受的外照射剂量为170—700伦，其中一半是在落下灰下降后第一天照射

的剂量。落下灰的主要成分是氧化鈣 ( $\text{CaO}$ )，其中放射性物质的50%是稀土类元素。20%是鈾。裂变产物的种类，大約为30种。初診在1954年3月中旬进行，当时患者的体表，血液，骨髓穿刺液、粪、尿及甲状腺均能测出有放射性。在受害后231天死亡的久保山，經屍体解剖后，在脏器中也测出有放射性物质。（王克为）

## 比基尼島氢彈實驗受害者的病理

三 宅 仁

“Research in the Effects and Influence of the Nuclear Bomb Test Explosions”,  
(2) 1371, 1956 (英文)

美帝在比基尼島實驗氢彈，落下灰降落在日本漁船福龍丸上，造成漁民的放射性損傷，其中一名患者久保山經過207天的治疗后死亡，本文記載了病理解剖的結果。著者指出，患者的骨骼、淋巴組織及睪丸呈現明显的放射性损伤的病理变化。皮肤损伤主要由于 $\beta$ 線的外照射（落下灰降落在皮肤上）。患者死亡的直接原因认为是由于肝脏的病变。肝脏本身对外照射有一定的抵抗力，但本病例既有外照射又有内照射，情况复杂。肝脏病变主要是炎症及硬化，引起了肝脏的變性。經過放射化学分析，得知，肝脏中有 $\text{Zr}^{95}$ 、 $\text{Nb}^{95}$ 、 $\text{Ce}^{144}$ 、 $\text{Pr}^{142}$ 、 $\text{Sr}^{89}$ 、 $\text{Sr}^{90}$ 等核裂变产物的蓄积，著者認為，这些放射性物质对肝脏的內照射，是引起肝损伤的主要原因。（王克为）

## 核裂变产物的代謝及其对机体的影响 (从福龙丸取得的放射性落下灰的研究)

翁 池 武 彦

“总合研究报告集录”，医学及药学篇 (1954) 431 (日文)

从福龙丸得到的落下灰，其粒子的直径大部分是 $100\text{--}400\mu$ ，粒子的大小与放射性强度之間沒有平行关系。将这种落下灰經口給予动物后，发现吸收最多者是碱土族元素，它們主要蓄积在骨中。用离子交換法將落下灰中各种放射性物质分离后，再給小鼠經口或皮下注入后，这些放射性物质在体内的分布情况如下：

$\text{Y}^{91}$ 、 $\text{Sr}^{89}$ 、 $\text{Ca}^{45}$ ——骨  
 $\text{Ce}^{141, 144}$ 、 $\text{Pr}^{144}$ ——骨、肝  
 $\text{Ru}^{103, 106}$ 、 $\text{Ru}^{106}$ ——骨、肾  
 $\text{Zr}^{95}$ 、 $\text{Nb}^{95}$ ——骨  
 $\text{I}^{131}$ ——甲状腺

（王克为）

## 小剂量鈾核裂产物所致慢性损伤时动物机体的病变

某些放射性元素的最大容許量是用計算的方法来确定的，这些計算数据是以一次量的不同的放射性物质在动物机体内分布的实验材料为基础的，此法只能計算放射性物质在各器官內的分布及其从机体排泄的速度，但完全忽略了损伤的不同时期放射性物质的重新分布和机体原来的功能状态的意义。本文用小剂量鈾核裂产物进行研究。过去，关于用这些产物对动物体作用的大部份实验都是以大剂量进行的。

实验是在犬和大鼠身上进行的。在6个月内每天按 $1 \times 10^{-9}$ 居里/公斤和 $1 \times 10^{-10}$ 居里/公斤的剂量経口給予放射性物质。检查的指标有：一般状况、体重、血液检查（血紅蛋白、紅細胞数、紅細胞沉降率、白細胞数和白細胞分类計数）、放射性物质在各器官內的分布及其在排泄物（尿和粪）中的含量。

一年半的觀察結果表明，实验动物出現輕度改变：如在损伤的头几个月內有些犬的体重下降；紅細胞的数量下降但接着又恢复正常；大多数犬的白細胞数出現輕度減少，以后呈波浪式变化。

大白鼠在全部受损伤过程中（6个月）未見显著异常，仅在某些动物的尾巴和耳朵上有結痂，有时在颈部和身体所創发现脓肿，实验鼠的体重虽有增加，但比对照鼠增长慢一些。在实验经8个月后，实验鼠的体重有些下降，而同时对照鼠的体重仍繼續上升。用倫琴射线检查大鼠的骨骼，未見任何异常。中毒鼠中有5只带有成熟胎儿的母鼠尚未分娩即死亡，其中2只鼠的胎儿处于化妝腐解状态，另外，在1—2个月内有2只鼠的腹部变硬，屍檢中发现有包裹的胎儿也处于化妝腐解状态。在死亡鼠的胎儿中查到少量的活性（每分鐘10~152次脉冲）。經长期觀察发现，实验鼠的死亡率比对照鼠高，且壽命縮短，如开始中毒后6个月内，对照組死亡16%，实验組死亡48%，經18个月，对照組死亡36%，实验組死亡60%，至22个月，对照組死亡48%，实验組死亡84%。6个月内死亡或杀死的实验鼠，屍檢无任何异常，而晚期死亡的动物，则有明显的病理解剖变化，直接的死亡原因是全身消瘦、支气管扩张和性功能方面的障碍。大多数中毒鼠都因合并感染而死亡。

（邓敬兰摘自俄文“电离放射作用所致损伤的远期后果”一書）

## 鈾核裂产物所致中毒动物的后代的造血器官和外周血液的变化

鈾核裂变产物的亲骨趋向很大，常聚积在骨中，加之它的半排除期和半衰期很长，可造成对骨髓的强烈照射，这种情况对造血机能頗有威胁。

本文研究在給犬（雄犬和雌犬）一次口服剂量为1毫居里/公斤的鈾核裂产物后，

观察对一年内所生育的后代的造血机能的影响。

受試動物共有60只小犬：其中以健康動物所生的30只小犬為對照組，以中毒動物所生的另30只小犬為實驗組。

出生後經過1、3、5、7、10、15、30、60、90、120及180天作血液檢查。用常規方法檢查外周血液，用印片方法檢查骨髓和脾。把出生時的體重和發育過程中體重的變化作為身體發育的指標。

給予鈾裂變產物後過了1年，在養育動物身上已無可見的異常。雌犬的妊娠、分娩和產後期的過程均正常。在這些犬身上亦未發現外周血液和造血器官有何變化。在受照射動物1年後所生的小犬無明顯異常，體重和吸吮反射均正常。

根據血液檢查的材料，實驗小犬從生後第一天起在外周血液中就發現明顯貧血，一直持續2個月，對照組小犬雖也有貧血發生，但不甚顯著，並發生遲緩。

實驗組小犬在出生後的第1—3天外周白細胞不增多，且低於正常，而對照組小犬外周白細胞增多（30,000—32,000/立方毫米）。

成紅細胞部份與成白細胞部份之比（骨髓指數）在實驗組小犬明顯地小於1，而健康小犬的骨髓指數大於1。在實驗組小犬，無論白細胞系統或紅細胞系統的分裂細胞都很少。實驗小犬骨髓象的上述變化，可以看作是骨髓造血機能的障礙，表現為網狀細胞轉變為血液細胞的延遲，細胞分裂過程的抑制，以及成紅細胞系的細胞分化延遲，因而在外周血液中出現顯著的貧血和白細胞減少。

實驗組小犬的脾臟細胞成分亦發生變化，如網狀細胞比例增加，淋巴細胞生長延緩，因而淋巴細胞生成顯著抑制。

上述變化都是暫時的，隨著年齡的增長，外周血液、骨髓和脾臟的狀態會逐漸恢復正常。

（鄧敬蘭摘自俄文“電離輻射作用所致損傷的遠期後果”一書）

## 鈾裂變產物所致放射病的急性和亞急 性期的病理解剖學

A. A. Пинус, A. P. Новикова “Мед. Радиол.”, 1960, (4), 43 (俄文)

鈾裂變產物儲存約一年。此混合物中主要含有長壽命的放射性碘的同位素：鈀<sup>153</sup>，鈀<sup>100</sup>，鈀<sup>91</sup>，鈀<sup>90</sup>，鈀<sup>144</sup>，鈀<sup>140</sup>和鈀<sup>135</sup>。實驗動物有大鼠（190只）、家兔（73只）和狗（13只）。同位素以不同方式給予動物：靜脈注射（大鼠3—5微居里/克，家兔2微居里/克，狗0.3微居里/克），皮下注射（大鼠1, 2, 5—5, 7.5—20微居里/克，家兔0.2, 1—2, 5—20微居里/克，狗15微居里/克），氣管內注射（大鼠0.2, 1—5微居里/克，家兔2微居里/克），吸入（大鼠0.2毫居里/升，30分鐘），口服（大鼠1, 2—5, 10—15, 20—25微居里/克，家兔5—10, 15—20微居里/克，狗5—15微居里/克）。給同位素後經過不同時間解剖動物屍體（病死或殺死），樣品作組織學檢查和

## 自体放射摄影。

在致死剂量作用下，临幊上出現精神沮丧、食慾不振、体重下降和血液变化（白細胞、血紅蛋白和紅細胞減少，白細胞分类左移，外周血液組成质的变化）。症状的輕重取决于剂量大小、动物种屬和給同位素的方式。

皮下注射后最初几天，皮下蜂窝组织水肿和出血。11—15天后（2.5微居里/克以上）表皮和真皮坏死。取亞急性經過时，形成波及其下肌层的深潰瘍。第5—7天（5微居里/克以上）脾和淋巴結充血肿胀，4—5周后出現明显萎縮。肺組織在急性例內有充血、出血和局灶水肿，有时发生肺炎。取亞急性經過时睪丸萎縮（0.2—2微居里/克）。一只在中毒7天后死去的狗，扁桃腺有点状出血，胃腸道粘膜和浆膜內出血。在皮肤注射部位，坏死和漸进坏死区周围的活组织完全无反应（特別是白細胞反应）。脾和淋巴結中有典型的淋巴滤泡“空廈”現象。剂量甚大时（7.5—20微居里/克），1—2天后淋巴細胞出現核固縮、溶解和破裂，6—13天后网状內皮系統細胞增生，有紅細胞吞噬和含鐵血黃素沉着。淋巴結被扩张，含大量巨噬細胞；有明显变化时則类似淋巴結“賣卡他”。管状骨、肋骨和椎骨等骨髓中白細胞系与紅細胞系前期細胞显著減少。肾損害出現于5—7天后，呈营养不良和漸进坏死的性质。肾小管上皮有再生現象，有的小管中有蛋白质管型。心脏有蛋白变性征象，有时肌纤维发生小滴脂肪变，基质水肿。其血管壁肿胀和均質化。肺內除局灶性肺气肿和肺不張外，有血管周围出血、血管壁疏松和血管周围水肿。有时支气管周围淋巴管显著扩张，肺组织呈局灶性水肿。有几只家兔（5—20微居里/克）發生纤维性坏死性肺炎，其特点为渗出物中几乎完全无白細胞。肝內有蛋白变性或脂肪变性現象，同时网状內皮系細胞肿胀和死亡。大鼠（有时家兔也如此）在扩大的小叶內毛細血管管腔內有大量巨噬細胞，后者有时含少量含鐵血黃素。肾上腺上皮細胞排列散乱，有营养不良变化，特別是皮质内（胞浆肿胀、核固縮等）。类脂质量往往极度減少。睪丸中細精管呈营养不良現象；上皮細胞变形且排列紊乱。細精管中出現許多异形多核巨細胞。間质中有出血，有时压迫細精管。病取亞急性經過时，生精作用受抑制。卵巢中卵泡上皮細胞死亡，基质中有灶性出血。大脑顢叶和枕叶皮层充血水肿，脑干部有单个出血灶，毛細血管內皮肿胀，血管膜纤维断离，神經細胞蛋白变性（肿胀、原浆空泡形成剂染色过深、细胞皺縮）。

放射自体摄影显示大量放射性物质浓集于骨骼中。急性例內脾、肝、肾、肺、气管和眼切片使胶片感光显著变黑；肾上腺之放射自体摄影则較淡。取亞急性經過时，这些脏器的放射自体摄影强度大为减弱，肺和心脏在曝光时可出現阴性結果，脾、淋巴結和肾也只呈現弱阳性結果。

以其它方式給予鈾裂变产物时，病理解剖和组织学变化与皮下注射时大体相同，但亦各有特点。口服大剂量后胃腸道损伤較严重，可呈纤维素性、出血性以至潰瘍性胃炎、小腸炎、結腸炎症状。靜脈注射时脾、淋巴結和肝病变較严重，而在吸入和气管内注入时这些脏器病变較轻。与此相应，各脏器放射自体摄影的强度也不同（特别是在病的初期）。但鈾裂变产物以各种方式注入时，其绝大部分都是长期蓄积于骨骼内。

可見，鈾裂变产物在动物体内引起了典型放射病的形态学变化。急性和亞急性期发生的变化依注入剂量、注射途径、动物个体和种屬特点而不同。如在給同位素后2—3

周內死亡，則造血器官和最初浓集大量放射物质的器官和組織损伤最严重；隨着寿命的延长，“局部”病变減輕，而全身营养障碍和血管损伤的症状愈益明显。（陈拱詒）

## 狗吸入鈾裂变产物混合物引起 损伤的远期后果

Б.А. Маркелов, С.И. Кротова, Е.В. Фрлексова

“Мед. Радиол.”, 1962, (8), 69 (俄文)

本文报导对3只狗的觀察結果，这3只狗一次吸入含鈀化鈾裂变产物混合物的空气5分鐘（浓度分别为 $2,18,1,62$ 和 $1,46$ 毫居里/升），而在中毒后活了6年多。實驗用 $^{113/2}$ —2岁之健康雄狗。鈦裂变产物混合物中含鈀 $^{89}, ^{90}24.1\%$ （9:1之比），鈽 $^{144}$ 26%，鎳 $^{65}21.2\%$ 和其它元素。

吸入后头两个月內精神萎靡，食慾不振，大便不正常，有时便中帶血。第90—100天时全身状况有所改善：較活泼，食慾好，大便恢复正常。从第10—15天起外周血液白細胞就減少，第20—50天降至700—1800。白細胞之減少乃由于中性白細胞和淋巴細胞之絕對數減少。同时血沉加速达40—80毫米/小时。3只狗都发生高色素性貧血，其中1只还有网狀紅細胞減少。

第二年和以后数年中，狗除外周血液白細胞数比原来低30—50%外，其它一切正常。

4年后检查了甲状腺蓄积碘 $^{131}$ 的能力、毛細血管通透性和心脏对肾上腺素的反应，并用电光检眼镜和裂隙灯作了眼部检查。

結果表明，甲状腺蓄积碘 $^{131}$ 在注入12—24小時后达最大值，为注入量的28—37%。静脉注射肾上腺素（每公斤体重2.5—5微克）引起了中毒（期外收縮、暫時性心室阻滯等）。毛細血管通透性无显著变化。

眼部检查发现球結膜水肿，血管网更清晰。虹膜部分萎縮，特別是其瞳孔緣。晶状体内有小点状渾浊。視神經乳头水肿并突出。网膜水肿，色素分布不均匀，血管硬化。这些改变以后更趋于加深。

6年另1个月后，1只狗下唇粘膜发生出血性潰瘍，軟組織水肿和變色。体重減輕，血紅蛋白量減低一半，紅細胞減少 $2/3$ 。外周血液中网狀紅細胞增加到10倍。血沉显著加速。因病情不断恶化在第2264天被殺死。屍檢時在右下唇發現一 $2 \times 2$ 厘米有潰瘍之扁平細胞癌，骨組織被侵蝕。內脏有背景不變变化。肺胞壁和胸膜增厚，胸膜上皮化生。多處出現局灶性肺气肿和血管周炎。支气管上皮增生。心肌之個別肌纖維染色不均勻。肝細胞小樑斷離，細胞原生質肿胀，有含脂肪滴的大空泡。可見到肝細胞再生区。有呈腺體性增生之假胆管。肝中有硬变灶。扩张之毛細血管中有含有含鐵血黃素之巨噬細胞。血管壁破壞，有出血灶。肾小管上皮肿胀。少數肾小球囊增厚，腔內有微量蛋白。血管內皮固縮。集合小管內有透明管型。乳頭部位有局灶性之基質透明变性。骨髓充血，呈多

形性，含大量巨核細胞和巨噬細胞，其中有含鐵血黃素。骨小樑多處被吸收。脾紅髓中有大量巨核細胞。甲狀腺中無胶質，濾泡縮小，上皮剝脫。前列腺發生腺癌。

另一只狗在6年另3個月後兩後肢癱瘓，大小便失禁。因病情惡化在第2298天被殺死。屍檢發現椎骨之肉瘤，長入椎管压迫脊髓。骨髓與其它內臟（心、肝、腎）有營養不良現象，與第一只狗相同。

第三只狗存活，繼續觀察。

各器官和組織的放射性測量和自體放射攝影顯示有 $\beta$ 放射物存在。骨骼中活性最高，特別是骨髓；肝和腎中活性較低。（陳拱詒）

## 狗患鈾裂變產物所致放射病時心 血管系統的變化

Г.К. Королев

“Мед. Радиол.”, 1963, (1), 64 (俄文)

所用的鈾裂變產物（鈾<sup>89</sup>, 鈾<sup>90</sup>, 鈾<sup>187</sup>, 鈍<sup>90</sup>, 鈮<sup>144</sup>, 鈷<sup>95</sup>, 鋨<sup>106</sup>等）為長壽命放射性同位素，儲存時間6個月。用成年動物作實驗。一組實驗中以鈾裂變產物之混合物餵給狗，另一組實驗採用吸入法。用心電描記法（第II導聯）研究心脏活動，並測量動脈壓，數脈搏，評定其充盈和緊張度，觸診和聽診心尖部位。觀察期60天。

餵飼實驗 用10只狗。6只狗給2—4毫居里/公斤，患Ⅲ度放射病。3—5天後出現放射病症狀，白細胞減少，死前1—2天白細胞數降至300—900。大多數有貧血。5只狗在中毒後7—26天死亡，1只存活。餵飼後1—3天，心搏數減少至1分鐘60—92次（正常100—124次），但很快恢復正常，而在3—20天後出現心搏過速（達150—180次）。此時脈搏充盈和緊張度減低，而在臨死時變為絲狀脈。呼吸性心律不齊減弱或消失。臨死前幾天觸診時心脏搏動減弱。大多數狗在聽診時心音低沉，個別的有收縮期雜音。2只狗在臨死前出現鐘擺狀心律。心電圖上最常見的變化是Q, R, T波增大，S-T段移到等電線下。有時P波和T波減小，S波增大，P-Q和S-T段縮短。半數狗在頭5天內即出現R波增大。以後R波電壓或波動於原初值上下，或顯著減低。3只狗R波增大出現於臨死前1—3天。數例內早期（3—4天後）發生T波倒置。半數狗在死前1—3天T波顯著增大。S-T段移至等電線下通常出現於臨死前不久，但亦間有早在第4天即出現者。最高動脈壓在3—5天後降低，以後繼續降低，臨死前為100—120毫米汞柱（實驗前為140—150）。

3只狗餵給2—3毫居里/公斤後患Ⅱ度放射病，起初白細胞增多（16,000—40,000），以後有中度白細胞減少（2,000—5,000）。在觀察期最後，全身狀態和血液指標都恢復正常。心血管系統的變化不是每例內都有。1只狗在病熾盛期出現一過性心搏過速。3只狗中有2只出現心電圖變化，表現為：R波增大，P波和T波電壓降低，有時T波倒置。1只狗動脈壓暫時降低至120—125毫米。

1只狗在餵給1毫居里/公斤后患I度放射病，心血管系統方面未發現有何重大變化。

吸入实验 用9只狗。其中6只在吸入浓度为0.32—0.97毫居里/升之气溶胶后患III度放射病，第2—7天发生上呼吸道卡他。1只狗患双側支气管肺炎。白細胞数起初增高，以后不断減低，临死前1—4天降至200—900。存活時間較長者有貧血。所有的狗在中毒11—35天后死亡。在最初2—5天内心搏节律变稀，而在临死前2—4天出現心搏过速（148—200次）。呼吸性心律不齐消失。脉搏充盈和紧张度減低。临死前2—3天听診时心尖部第一音減弱。心电图最常見的改变是P、R、T波电压增高，S-T段移到等电线下并縮短。有时Q波增大，R、T波減小，T波倒置。上述变化多出現于临死前，但亦可在中毒后早期出現。最高动脉压逐漸減低：大多数在4—5天后开始減低，死前1—5天降至85—130毫米。

1只狗吸入0.15毫居里/升后患II度放射病，周期性地发生卡他性結合膜炎和鼻炎。白細胞中度減少。P、R、S和T波增大，S-T段縮短。动脉压降低至115—120毫米。

1只狗吸入0.11毫居里/升后患I度放射病，鼻咽粘膜有輕度炎症，白細胞減少。

1只狗吸入0.00394毫居里/升，无任何症状，这两只狗都未發現心血管系統的障碍。

以上所述心血管系統的变化同大剂量X線和 $\gamma$ 线引起的相同。但不能把此种变化看作是原发性反应，而应当看作是潛伏期的表現。心电图上各个波增高发生于心搏过速和心音減弱期，表明心肌有严重的生化过程紊乱。S-T段移到等电线下可以看作是冠状血管營養障碍的表現。（陈拱詒）

# 放射性鍶



## 各种鹽类对植物吸收放射性鈸的影响

坂口孝司

“同位体与放射线” 3,147,1960, (日文)

植物对放射性鈸的吸收可受許多因素的影响，查清这些影响因素，对了解植物受放射性鈸的沾染情况有一定意义。本实验观察了几种无机盐对植物吸收放射性鈸的影响。共做四个实验，实验一是观察钙对水茅草吸收放射性鈸的影响，将细砂装入容器内，播入种子，发芽后培育30天，然后将植物移往水中培植一周，在开始实验前24小时，将植物培植于没有无机盐的水中，然后进行实验，实验是在500ml容器内进行，往其中加入400ml培养液，含钙的浓度分别是0, 20, 40, 60, 80, 100ppm，并往其中加入 $\text{锶}^{89}$  60 $\mu\text{c}$ 。培养5天后测量放射性，结果证明，伴随着钙浓度的增加，植物吸收 $\text{锶}^{89}$ 的量逐渐减少。实验二是镁对水茅草吸收放射性鈸的影响，方法与实验一相同，培养液中镁的浓度分别为0, 10, 20, 40, 50ppm， $\text{锶}^{89}$ 为60 $\mu\text{c}$ ，培养5天后测放射性，结果与实验一相似，镁也能减少植物对放射性鈸的吸收。实验三是观察钾对豌豆吸收放射性鈸的影响，培养液中钾的浓度分别为0, 20, 40, 80ppm，加入的 $\text{锶}^{89}$ 量为20 $\mu\text{c}$ ，培养5天后测放射性，结果发现，钾也能减少植物对放射性鈸的吸收。实验四是氯对水稻吸收放射性鈸的影响，氯的化学状态是氯化氨，浓度为0, 20, 40, 60ppm，加入的 $\text{锶}^{89}$ 量为5 $\mu\text{c}$ ，培养2天后测放射性，结果与前项实验相似，氯能明显地影响水稻对放射性鈸的吸收。在上述结果的讨论中，著者认为，钙、镁、钾、氯在被植物吸收过程中，与鈸有对抗作用。（王克为）

## 放射性鈸的代谢及促进排出方法

色田千雄

“医学的进展”，39,171,1961. (日文)

本文系文献综述，引用文献计44篇。著者首先叙述了骨质代谢与放射性鈸的关系，由于鈸与钙同属于碱土族金属，所以鈸在体内代谢与钙相似，主要蓄积于骨组织。在骨组织中沉积的机制，是一种异离子交换过程，虽然机体对鈸与钙有差别对待，但是，骨组织对鈸钙的差别对待较少，因此，放射性鈸易于沉积于骨，而且，一旦沉积以后很难从中排出。对于促进放射性鈸从体内排出的方法，著者主要讨论了各种络合剂的效果，在日本文献中，报告较多者是各种羟基酸。对于能否合成新的络合剂，其与鈸的稳定常数大于钙，对此，著者抱有乐观的看法。（王克为）

# 锶<sup>90</sup>在大鼠骨中的蓄积及其排出的动力学

Ю.И.Москалев

“Радиобиол.”, 1.65.1961. (俄文)

为了评价某些放射性物质的生物学作用，必须了解它们在体内蓄积及排出的规律。为了解决这一任务，首先应注意所谓“险要器官”，也就是某种放射性物质选择性地蓄积的某些器官，对锶<sup>90</sup>来讲就是骨组织。在文献上有很多关于锶<sup>90</sup>在体内分布的研究，但多属于短期内的实验，至于注入锶<sup>90</sup>后的晚期，它从骨中排出的实验资料较少，因此，著者研究了比较晚期的代谢的特点。实验用348只大鼠，开始实验时平均体重为180克，年龄约为3—4周，经腹腔注入锶<sup>90</sup>，有些是一次注入，有些是每天注入，连续注入100天，有些是每月注入一次，在注入后不同时间（从50天—625天）测量锶<sup>90</sup>在大腿骨，大腿骨骨端、骨干、头盖骨、肝、肾、脾及肌肉中的含量。实验结果指出，注入锶<sup>90</sup>后，大约62%沉积在全部骨骼中。已蓄积于骨骼中的锶<sup>90</sup>，可再从骨中排出，其中63%排出稍快一些，生物半减期为65天，其余37%排出很慢，生物半减期约为680天，由于大鼠不断生长，骨中锶<sup>90</sup>的含量也迅速下降，如大腿骨，在注入后第50—600天这一期间，在第600天测定时，已降低至原第50天的1/6。全部骨骼中锶<sup>90</sup>的含量已降低至第50天的1/3。在注入后的晚期，虽然在肝、肾及肌肉等软组织可以发现有锶<sup>90</sup>的蓄积，但其量极少。（王克为）

# 大鼠肝肾线粒体对钙和锶的摄取

Mraz, R.F.

“Proc. Soc. Exp. Biol. and Med”, Vol III, № 2, 429, 1962. (英文)

作者用平均体重200克的雌鼠，饲以每克含1.3%Ca、0.9%P和5个美国药典单位Vitp的食物，饲养20天后断头杀死，取出肝、肾，放入以冰水冷却的0.25M蔗糖溶液内，于0°C下制成10%组织匀浆后以800×g离心10分钟，去核、碎片及破裂的细胞，取出上层溶液，以12,000×g离心10分钟，沉淀线粒体，后者以0.25M蔗糖液洗涤一次，再混悬于5ml0.25M蔗糖溶液中，取此液0.5ml加进Deluca和Engstrom曾用的混合液内（除去加入的钙），各加入0.16μC Ca<sup>45</sup>和Sr<sup>85</sup>，在Dubnoff震盪器内以30°C温浴10分钟，温浴后的混合物迅速冷却至0°C，立即于42,000×g离心7—10分钟，弃上清，测量Ca<sup>45</sup>和Sr<sup>85</sup>。

本文的实验目的有二：（1）加入不同浓度的钙和锶对培养液中线粒体摄取Ca<sup>45</sup>和Sr<sup>85</sup>的影响；（2）确定在有钙和无钙情况下，大鼠肝、肾线粒体摄取Ca<sup>45</sup>和Sr<sup>85</sup>是否